



**Universität Stuttgart**

**Prof.Dr.  
Thomas Hobiger**

# **Inertialnavigation**

**Praktische Hin-  
weise zur Na-  
vigation im  $n$ -  
System**

## Praktische Hinweise zur Navigation im $n$ -System

In Vorlesungen 7 und 8 hatten wir die Fehlergleichung im  $n$ -System hergeleitet. Betrachtet man die DGL für die Orientierung (Gl. (7.21)) und berücksichtigt nur die größten Beiträge so findet man

$$\dot{\psi}^n = \begin{bmatrix} \delta \dot{R} \\ \delta \dot{P} \\ \delta \dot{Y} \end{bmatrix} = \begin{bmatrix} 0 & \frac{1}{N+h} & 0 \\ -\frac{1}{M+h} & 0 & 0 \\ 0 & -\frac{\tan \phi}{N+h} & 0 \end{bmatrix} \cdot \begin{bmatrix} \delta v_N \\ \delta v_E \\ \delta v_D \end{bmatrix} - C_p^n \cdot \delta \omega_{ip}^p \quad (9.1)$$

Untersuchen wir nur den Anteil für den Rollwinkel so finden wir

$$\delta \dot{R} = \frac{1}{N+h} \delta v_E - \delta \omega_N \quad (9.2)$$

wobei  $\delta \omega_N$  der Fehler des Drehratensensors um die Rollachse (nach Norden!) ist. Ähnlich kann man die größten Beiträge in der DGL für die Geschwindigkeiten (Gl. (8.4)) abschätzen und erhält

$$\begin{bmatrix} \delta \dot{v}_N \\ \delta \dot{v}_E \\ \delta \dot{v}_D \end{bmatrix} = \begin{bmatrix} 0 & -a_D & a_E \\ a_D & 0 & -a_N \\ -a_E & a_N & 0 \end{bmatrix} \cdot \begin{bmatrix} \delta R \\ \delta P \\ \delta Y \end{bmatrix} + \begin{bmatrix} \delta a_N \\ \delta a_E \\ \delta a_D \end{bmatrix} \quad (9.3)$$

# Praktische Hinweise zur Navigation im $n$ -System

Interessieren wir uns für nur die Ost-Komponente, so erhält man

$$\delta \dot{v}_E = a_D \cdot \delta R - a_N \cdot \delta Y + \delta a_E \quad (9.4)$$

Im  $n$ -System dominiert bei terrestrischer Navigation meistens die Schwerkraft, so dass Gl. (9.4) mit  $a_D = -g$  umgeschrieben werden kann zu

$$\delta \dot{v}_E = -g \cdot \delta R + \delta a_E \quad (9.5)$$

Bilden wir davon die zeitliche Ableitung so erhalten wir

$$\delta \ddot{v}_E = -g \cdot \delta \dot{R} \quad (9.6)$$

Setzt man nun  $\delta \dot{R}$  aus Gl. (9.2) in (9.6) erhält man

$$\delta \ddot{v}_E + \frac{g}{N+h} \cdot \delta v_E = -g \cdot \delta \omega_N \quad (9.7)$$

Als Lösung dieser nicht-homogenen DGL zweiter Ordnung findet man oszillierendes Verhalten von  $\delta v_E$  mit einer sehr kleinen Frequenz, der sogenannten

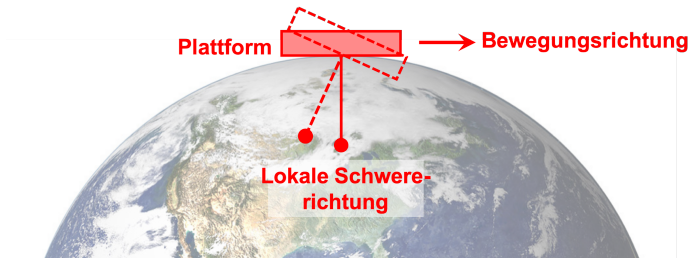
**Schuler-Frequenz**

$$f_s = \frac{1}{2\pi} \sqrt{\frac{g}{N+h}} \approx \frac{1}{2\pi} \sqrt{\frac{g}{R}} \quad (9.8)$$

# Praktische Hinweise zur Navigation im $n$ -System

Die **Schuler-Periode**  $\frac{1}{f_s}$  hat eine Dauer von ca. 84.4 Minuten und wurde auf Grund von theoretischen Überlegungen von *Maximilian Schuler* entdeckt.

Der Schuler-Effekt lässt sich gedanklich als zeitliche Fortsetzung eines Anfangsorientierungsfehlers interpretieren.



Bildet man die zeitliche Ableitung von Gl. (9.2) und setzt (9.5) ein erhält man die zu (9.7) komplementäre DGL

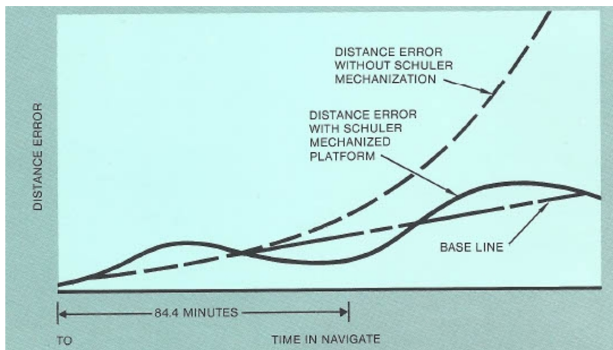
$$\delta \ddot{R} + \frac{g}{N+h} \cdot \delta R = \frac{1}{N+h} \delta a_E \quad (9.9)$$

welche die Schuler-Schwingung im Rollwinkel vermittelt. In ähnlicher Weise hätten wir den Effekt auch zwischen Pitch-fehler  $\delta P$  und Geschwindigkeitsfehler nach Norden  $\delta v_N$  gefunden.

# Praktische Hinweise zur Navigation im $n$ -System

## Schuler Tuning

- Man stelle sich vor man möchte die Lotrichtung mit einem Pendel bestimmen
- Wird dieses Pendel horizontal beschleunigt, wird das Pendel ausgelenkt und die angezeigte Richtung entspricht nicht der Lotrichtung
- Dies würde interessanter- oder besser gesagt seltsamerweise nicht passieren wenn das Pendel mit einer Periode von ca. 84 Minuten schwingen würde (bzw. wir eine Pendellänge gleich dem Erdradius) hätten
- Mechanische System berücksichtigen dies durch aktives Schwingen, während der Effekt auch in der Strap-Down Rechnung berücksichtigt werden kann. Beides wird als **Schuler Tuning** bezeichnet.

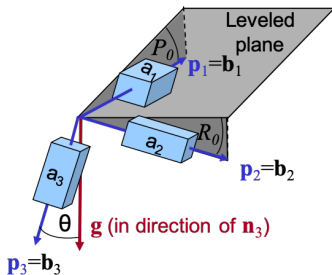


# Praktische Hinweise zur Navigation im $n$ -System

## Initialisierung - Beschleunigungssensor anordnen (Wiederholung aus VO ISens)

- Richtet die 3 Achsen des Beschleunigungssensors zu den 3 Achsen des lokalen Horizontsystems aus
- Demzufolge werden die „horizontalen“ Achsen des Beschleunigungssensors auf Null gebracht
- Diskutiere Fehler der Vororientierung auf Grund des Schuler Effekts

$$\sin P_0 = -\frac{a_1^p}{g}$$
$$\sin R_0 = \frac{a_2^p}{g \cos P_0}$$



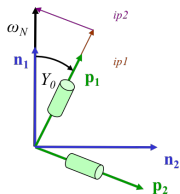
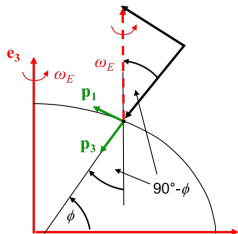
- Annahmen: Fehlerfreier Beschleunigungssensor, Kenntnis von  $g$   
⇒ nur grobe Ausrichtung

# Praktische Hinweise zur Navigation im $n$ -System

## Initialisierung - Kreismessung (Wiederholung aus VO ISens)

- Ein stationärer Kreisel nimmt nur eine Komponente der Erdrotation wahr
- Wenn der Kreisel sich innerhalb einer horizontalten Ebene befindet, hat diese Komponente das Maximum dort, wo der Kreisel nach Norden zeigt (und Null wenn nach Osten)
- Annahme: Horizontierung des Beschleunigungssensors wurde durchgeführt

Blick von Seite  $\omega_N = \omega_E \cos \phi$  Blick von oben



$$\begin{aligned}\omega_{ip2}^p &= -\omega_N \cdot \sin Y_0 \\ &= -\omega_E \cdot \cos \phi \cdot \sin Y_0 \\ \omega_{ip1}^p &= \omega_N \cdot \cos Y_0 \\ &= \omega_E \cdot \cos \phi \cdot \cos Y_0 \\ \tan Y_0 &= -\frac{\omega_{ip2}^p}{\omega_{ip1}^p}\end{aligned}$$



## Praktische Hinweise zur Navigation im $n$ -System

Die heute durchgenommenen Beispiele finden Sie als Jupyter Notebook unter

<https://github.com/spacegeodesy/INav/blob/main/V09.ipynb>